

防衛大 土木工学教室 正員 浄法寺朝美  
 " " 正員 石川信隆  
 " 研究科 学生員 ○岩淵啓

1. 緒言 基礎の影響を考慮したラーメンの弾性解析に関する研究は長氏<sup>1)</sup>によく行なわれているが、未だその弾塑性挙動を解明したものは見当らない。本研究は、まず基礎の影響を考慮した鉄筋コンクリート(RC)部材に対する弾塑性たわみ角式を誘導し、ついでかかる部材を含むラーメンの弾塑性解析法を確立するとともに基礎の曲げモーメントおよびたわみに与える影響を考察せんとするものである。

## 2. 基礎の影響を考慮したRC部材に対する弾塑性たわみ角式の誘導

地盤を弾性体、拡がり基礎を剛体と見做し、地盤の水平、垂直反力係数( $K_H$ ,  $K_V$ )を一定であると仮定すれば、図-1(a)に示すごとき基礎節点Aに作用する外力 $M_{AF}$ ,  $V_{AF}$ ,  $H_{AF}$ は基礎の変位量 $\theta_A$ ,  $\delta_{VA}$ ,  $\delta_{HA}$ によって次式のごとく与えられる。

$$\begin{aligned} M_{AF} &= K_V \int (\chi \theta_A + \delta_{VA}) \chi dS_A + K_H \int (y \theta_A + \delta_{HA}) y dS_B \\ &= K_V (I_{AH} \theta_A + G_{AH} \delta_{VA}) + K_H (I_{AV} \theta_A + G_{AV} \delta_{HA}) \quad \dots (1) \end{aligned}$$

$$V_{AF} = K_V \int (\chi \theta_A + \delta_{VA}) dS_A = K_V (G_{AH} \theta_A + \delta_{VA} S_A) \quad \dots (2)$$

$$H_{AF} = K_H \int (y \theta_A + \delta_{HA}) dS_B = K_H (G_{AV} \theta_A + \delta_{HA} S_B) \quad \dots (3)$$

ただし  $I_{AH} = \int x^2 dS_A$ ,  $I_{AV} = \int y^2 dS_B$ ,  $G_{AH} = \int x dS_A$ ,  $G_{AV} = \int y dS_B$ ,

ここで式(1),(2),(3)をラーメン部材の標準剛度( $K_0$ )を用いて書き改めれば次式のごとく表示されることとなる。

$$M_{AF} = K_{AF} (2\varphi_A + j_1 \psi_{VA} + j_2 \psi_{HA}) \quad \dots (4)$$

$$V_{AF} = j_3 \varphi_A + \psi_{VA} \quad \dots (5)$$

$$H_{AF} = j_4 \varphi_A + \psi_{HA} \quad \dots (6)$$

ただし  $K_{AF} = \frac{K_V I_{AH} + K_H I_{AV}}{4E_0 K_0}$ ,  $j_1 = \frac{G_{AH}}{K_{AF} S_A}$ ,  $j_2 = \frac{G_{AV}}{K_{AF} S_B}$ ,  $j_3 = \frac{K_V G_{AH}}{2E_0 K_0}$ ,

$j_4 = \frac{K_H G_{AV}}{2E_0 K_0}$ ,  $\varphi_A = 2E_0 K_0 \theta_A$ ,  $\psi_{VA} = K_V S_A \delta_{VA}$ ,  $\psi_{HA} = K_H S_B \delta_{HA}$ ,

一方、RC部材の曲げモーメント $M$ と曲率 $\phi$ との関係を近似的に図-2<sup>2)</sup>のごとくに仮定すれば、図-3に示す等断面部材ABに対する弾塑性たわみ角式は文献(3)より次式のごとく表わされる。

$$M_{AB} = K_{AB} (\alpha_{AB} \varphi_A + \beta_{AB} \varphi_B + \gamma_{AB} \psi_{AB}) + \varepsilon_a M_{RA} + \varepsilon_b M_{RB} + C_{AB} \quad \dots (7)$$

$$M_{BA} = K_{AB} (\alpha_{BA} \varphi_B + \beta_{AB} \varphi_A + \gamma_{BA} \psi_{AB}) + \gamma_a M_{RA} + \gamma_b M_{RB} + C_{BA} \quad \dots (8)$$

ただし、係数 $\alpha_{AB}$ ,  $\beta_{AB}$ ,  $\gamma_{AB}$ ,  $\varepsilon_a$ ,  $\varepsilon_b$ ,  $C_{AB}$ ,  $C_{BA}$ は文献(3)の

表-3を用いるものとし、係数中の $K$ は $K = \frac{EJ}{EJR}$ とする。

他方、基礎節点Aにおける曲げモーメントおよび力の釣合式より、次式が成立する。

$$\sum M_{Ai} + M_{AF} + M_{AO} = 0 \quad \dots (9), \quad V_A - V_{AF} = 0 \quad \dots (10), \quad H_A - H_{AF} = 0 \quad \dots (11),$$

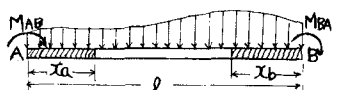
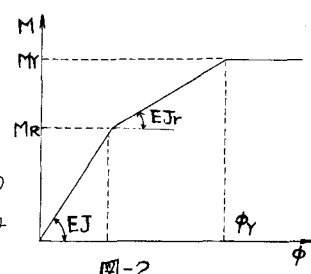
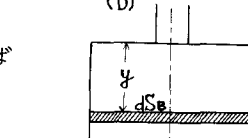
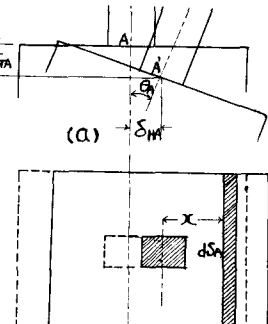


図-3

ただし、 $M_{A0}, \Delta_A, H_A$  は節点 A における外力曲げモーメント、垂直および水平反力を示す。

よって、式(9)、(10)、(11)にそれぞれ式(4)、(5)、(6)および式(7)を代入したうえで、 $\psi_A, \psi_{VA}, \psi_{HA}$  について連立に解き、これらを式(7)および式(8)に改めて代入すれば、結局基礎の影響を考慮した RC 部材に対する弾塑性たわみ角式が次式のごとく誘導されることとなる。

$$\begin{aligned} M_{AB} &= K_{AB} (\bar{\gamma}_{AB} \psi_B + \bar{\gamma}_{BA} \psi_{AB}) + \bar{\epsilon}_a M_{RA} + \bar{\epsilon}_b M_{RB} + \bar{C}_{AB} \\ M_{BA} &= K_{AB} (\bar{\alpha}_{BA} \psi_B + \bar{\gamma}_{BA} \psi_{AB}) + \bar{\gamma}_a M_{RA} + \bar{\gamma}_b M_{RB} + \bar{C}_{BA} \end{aligned} \quad \text{... (12)}$$

ただし、 $J = (2 - j_1 j_3 - j_2 j_4)$ ,  $G = K_{AB} \alpha_{AB} + K_{AF} J$ ,  $\bar{\gamma}_{AB} = K_{AF} \beta_{AB} J / G$ ,

$$\bar{\gamma}_{BA} = K_{AF} \gamma_{AB} J / G, \quad \bar{\epsilon}_a = K_{AF} \epsilon_{AB} J / G,$$

$$\bar{C}_{AB} = \{ C_{AB} K_{AF} J - K_{AF} K_{AB} \alpha_{AB} (j_1 \Delta_A + j_2 H_A) \} / G, \quad \bar{\alpha}_{BA} = \{ K_{AB} \alpha_{AB} \alpha_{BA} + K_{AF} (\alpha_{BC} J - \beta_{AB}) \} / G,$$

$$\bar{\gamma}_{BA} = \{ K_{AB} \alpha_{AB} \gamma_{BA} + K_{AF} (\gamma_{BA} J - \gamma_{AB} \beta_{AB}) \} / G, \quad \bar{\gamma}_a = \{ K_{AB} (\gamma_a \alpha_{AB} - \epsilon_a \beta_{AB}) + \gamma_a K_{AF} J \} / G,$$

$$\bar{\epsilon}_b = \{ (\gamma_b \alpha_{AB} - \epsilon_b \beta_{AB}) K_{AB} + \gamma_b K_{AF} J \} / G,$$

$$\bar{C}_{BA} = \{ (K_{AB} \alpha_{AB} + K_{AF} J) C_{BA} - C_{AB} K_{AF} \beta_{AB} - K_{AB} K_{AF} (j_1 \Delta_A + j_2 H_A) \} / G,$$

### 3. 基礎の影響を考慮したラーメンの弾塑性解析法

2. で誘導した弾塑性たわみ角式を用うれば通常のラーメンの弾塑性解析法と同様となる。いま図-4 に示すとおりラーメンに水平集中荷重 P が作用する場合を例にとれば、未知数  $\theta_B, \delta_B$  に対しては、節点方程式および層方程式が、さらに塑性領域未知数  $X_A, X_B$  (図-3 参照) に対しては曲げモーメントの適合条件式がそれぞれ成立することとなり、これらを繰返し試算により解けば、表-1 および図-5 に示す結果がえられる。表-1 は  $P = 8 \text{ ton}$  における曲げモーメント、 $\theta_B$  および  $\delta_B$  の収斂値を、図-5 は初期降伏時より最終崩壊時に至る全過程のたわみ量を示すもので、基礎を固定とした場合とそれぞれ併記し比較検討した。

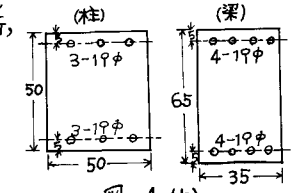
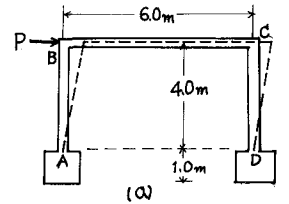
表-1.  $P = 8 \text{ ton}$  の場合

	基礎考慮時	固定ラーメン
$M_{AB}$	3.71 $\text{kNm}$	8.62 $\text{kNm}$
$M_{BA}$	12.29 $\text{kNm}$	7.38 $\text{kNm}$
$\theta_B$	0.489	0.369
$\delta_B$	13.25 $\text{mm}$	2.814 $\text{mm}$

### 4. 結語 本研究によつて基礎を考慮したラーメンの弾

塑性挙動が解明されることとなつたが、本研究の成果としては、(1)基礎を考慮した RC 部材に対する弾塑性たわみ角式を誘導することにより、従来より実状に即したラーメンの弾塑性解析が可能となつたこと、(2)基礎の曲げモーメントおよび変形量に与える影響が極めて大きく、また基礎を固定とした場合よりたわみが安全側になることが確認されたこと、などが挙げられる。

- 参考文献 (1) 長尚：基礎構造を考慮したラーメンの解法、土木学会論文集、第103号、5.39.3  
 (2) 武藤清：耐震設計シリーズ2、鉄筋コンクリート構造物の塑性設計、丸善、5.39.8  
 (3) 山崎・太田・石川：補正エオルギー法による直線柱構造物の弾塑性解析、土木学会論文集、第134号、SA1.10  
 (4) 山田孝一郎：撲倒法形式による骨組の弾塑性解析、日本建築学会論文集、第80号、第81号、S39.12, 40.1



基礎(コンクリート)

$$\begin{aligned} 1.0 \text{ m} \times 1.2 \text{ m} \times 1.0 \text{ m} \\ I_H = 0.144 \text{ m}^4 \quad I_V = 0.0525 \text{ m}^4 \\ K_T = 5 \times 10^3 \text{ t/m}^2 \quad K_H = 1.0 \times 10^3 \text{ t/m} \end{aligned}$$

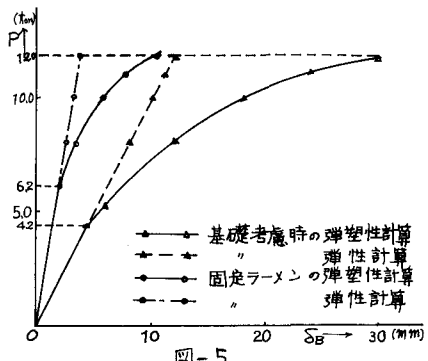


図-5